

نتایج علاوه بر استفاده در سد جره، به برآورد سیلاب طرح سایر طرح‌های توسعه سدسازی درون حوزه‌ای و حوزه‌های آبخیز مجاور کمک می‌نماید.

واژه‌های کلیدی: تحلیل فراوانی سیل، توزیع آماری، سد مخزنی جره، سیل طرح، آبمنود نمایه

مقدمه

موضوع ارزیابی سیلاب طرح از مدت‌ها پیش مورد بحث و مجادله علمی قرار گرفته است. این مسئله موضوعی دشوار، مهم و نگران کننده است. طرح ناقص سرریزها اغلب به دلیل برآوردهای نادرست سیلاب طرح می‌باشد. این‌می‌آب شناختی سد نیز، توسط کافی بودن ظرفیت سرریز برای خروج جریان سیل کنترل می‌شود. تحلیل‌های آماری سدهای تخریب شده جهان نشان می‌دهد که بسیاری از سدها به دلیل ظرفیت نامناسب سرریزها دچار زوال و تخریب شده‌اند [۳]. بیش از ۴۰ درصد سدهای تخریب شده دنیا به دلیل عدم توانایی سرریزهای آن‌ها در عبور جریان سیل می‌باشد [۱۰]. محاسبه سیل طرح سدهای بزرگ، یکی از مهمترین مراحل در مطالعات مهندسی سد محسوب می‌گردد. برای محاسبه سیل طرح روش‌های متعددی پیشنهاد شده است که مهمترین این روش‌ها تحلیل فراوانی، تحلیل منطقه‌ای، مدل‌های بارش- رواناب، فرمول‌های تجربی، منحنی پوش سیلاب و استفاده از سیلاب‌های تاریخی می‌باشد [۳]. برآوردهای حاصل از نمونه‌های کوچک سیل می‌تواند عامل‌های نامعقول یا غیر واقعی داشته باشد. چنانچه در اثر تخریب ایستگاه آب سنجی در جریان یک سیلاب بزرگ داده‌های مفقود حاصل گردد، عدم برآورد داده مفقود می‌تواند لطمہ مهمی به دقت تحلیل فراوانی وارد نماید. چنانچه انحراف معیار سری آماری زیاد و اندازه نمونه کوچک باشد این امر مضاعف می‌گردد [۱۵]. صدقی [۵] پژوهشی پیرامون ارزیابی و برآورد حداقل بارش و سیلاب محتمل به منظور برآورد سیل طرح سرریز سد کارون ۳ را ارایه داد. ارزیابی به عمل آمده نشانگر تفاوت قابل توجه بین نتایج می‌باشد. دی‌های اوج برآورد شده بین ۱۰۸۶۳ تا ۲۷۹۰ متر مکعب بر ثانیه و حجم سیلاب برای زمان پایه ۲۰ روزه بین ۵/۵ تا ۱۶ میلیارد متر مکعب بوده است. حوزه مورد پژوهش توسط ایشان و حوزه مورد مطالعه از نظر مکانی در مجاورت همدیگر بوده و به لحاظ بارش سالانه بسیار به همدیگر نزدیک هستند. اما تغییرپذیری بارش در حوزه رود زرد به مراتب بیشتر از حوزه سد مخزنی کارون ۳ می‌باشد. در هر حال مطالعه صدقی به کاهش دبی

نقش بهنگام سازی سری آماری

بر ارزیابی سیل طرح

(مطالعه موردی: سد مخزنی جره)

کاظم حمادی^۱ و علی محمد آخوند علی^۲ و عبدالکریم بهنیا^۳

داود رضا عرب^۴

چکیده

سیلاب طرح با استفاده از قوانین احتمال و داده‌های موجود، توسط تحلیل فراوانی قابل برآورد می‌باشد. طول سری آماری کوتاه و یا داده مفقود موجب بروز عدم قطعیت‌های برون‌یابی برآورد مناسب سیلاب طراحی می‌گردد. پس از انجام مطالعات سد مخزنی جره در رامهرمز؛ سیلاب‌های بزرگ و در حد دبی طراحی سرریزهای آن به وقوع پیوسته است. اعمال این داده‌ها در سری سیلاب باعث تغییرات قابل توجهی در سیلاب طرح شده است. هدف این پژوهش برآورد و ارزیابی سیلاب طرح سرریزهای سد مخزنی جره بر مبنای تکمیل سری آماری سیل در فاصله زمانی طراحی تا تدوین این مقاله می‌باشد. در این پژوهش ابتدا داده‌های مفقود و مشکوک سری آماری حداقل لحظه‌ای سیلاب، تکمیل و اصلاح گردید. سپس از روش تحلیل فراوانی به منظور برآورد دبی‌های اوج استفاده شد. جهت تعیین آبمنود سیلاب و سیل طرح از روش نمایه سیلاب استفاده گردید. نتایج پژوهش نشان می‌دهد که افزایش اندازه نمونه آماری سیلاب، علاوه بر تغییر نوع توزیع آماری داده‌ها، مقادیر برآورده سیلاب را به شدت تحت تاثیر گذاشته است. در این مطالعه دبی اوج سرریزها تا حد ۹۷ درصد افزایش نشان می‌دهد. عمدۀ اختلاف، به افزایش تعداد مشاهدات و بزرگی وقایع سیلاب به وقوع پیوسته بعد از دوره طراحی سد بر می‌گردد.

۱- دانشجوی دکتری هیدرولوژی، دانشگاه شهید چمران اهواز- hemmadi.kazem@gmail.com

۲- استادیار دانشکده مهندسی علوم آب، دانشگاه شهید چمران اهواز

۳- دانشیار دانشکده مهندسی علوم آب، دانشگاه شهید چمران اهواز

۴- استادیار دانشکده مهندسی آب دانشگاه تهران

نتایج سیلاب برآورده شده با توابع توزیع و آبشنختی گذشته (دیرین)^۴ انجام داد. این پژوهش روی رودخانه آنجرمانال وین^۵ در بخش میانی مرکز کشور سوئد به منظور ایجاد سری دراز مدت ۲۰۰۰ ساله صورت گرفته است. ساندر رابطه بین ضخامت رسوبات وارو^۶ و دبی حداقل سیل سالانه را توسط سه مدل خطی، لگاریتمی و نمایی توصیف نمود. نتایج نشان می‌دهد که سیلاب‌های ۱۰۰۰ و ۲۰۰۰ ساله برآورده شده از توزیع گامبل با داده‌های محاسبه شده از مدل لگاریتمی و نمایی حاصل از مطالعات هیدرولوژی دیرین مطابقت دارند. برآورده سیلاب با استفاده از موضوعات آبشنختی گذشته کمتر مورد توجه پژوهشگران قرار گرفته، لیکن پژوهش انجام شده توسط ساندر نشان می‌دهد که نتایج برآوردهای آن با تحلیل فراوانی مطابقت دارد. عدم قطعیت هیدرولوژیکی برآورده سیلاب شامل عدم قطعیت ذاتی، نوع توزیع احتمال و عامل‌های توزیع است [۱]. یکی از چالش‌ها در مطالعات هیدرولوژیکی، برآورده دبی سیل با دوره بازگشت بالا است که خارج از دامنه وقایع مشاهده شده در نمونه تا حدی کوچک فرآیندهای هیدرولوژیکی قرار می‌گیرد. عامل‌های تابع توزیع احتمال که از نمونه برآورده می‌شود غیرقطعی است و درجه عدم قطعیت بستگی به اندازه نمونه دارد [۱]. متخصصین آبشنختی از چند نوع توزیع احتمال مرسوم استفاده می‌کنند، اما یک نوع توزیع را نمی‌توان به عنوان بهترین توزیع در تمامی موارد توصیه کرد زیرا تابع توزیع تحت تاثیر ویژگی‌های هیدرولوژیکی حوزه مورد مطالعه قرار دارد. طراحی هیدرولوژیکی ممکن است بر اساس پژوهش‌ها و اطلاع‌های انتشار یافته‌ی داده‌های گذشته باشد. برایان و مک‌نور [۸] با استفاده از داده‌های بهنگام بارش، یک تحلیل فراوانی برای بارش شهر کافراس^۷ انجام داده‌اند. این پژوهشگران نتایج بدست آمده را با مطالعات پیشین منتشر شده در اطلاع‌های بارش TP-40، 35-HYDRO و مطالعات هاف و آنجل [۱۴] مقایسه نمودند. عمق بارش حاصل از نتایج پژوهش فوق برای دوره بازگشت‌های بالاتر از ۱۰ سال با مطالعات پیشین اختلاف دارد. البته برای دوره بازگشت‌های پایین تر از ۱۰ سال اختلاف کم، گزارش شده است.

مشاور طرح سد مخزنی جره به منظور برآورده مقدار سیلاب‌های عبوری از سریزهای سد، از آمار و اطلاعات ایستگاه رود زرد ماسین در نزدیکی پایین دست سد استفاده نموده است. داده‌ها در فاصله زمانی سال‌های ۱۳۴۹-۶۵ ثبت شده‌اند. سری آماری سیل از ۱۶ واقعه در زمان طراحی به تعداد ۳۶ واقعه در حال حاضر افزایش یافته است. دبی حداقل لحظه‌ای برآورده شده بر اساس سری

طرح منجر شده است. بررسی سیلاب رودخانه‌هایی که دارای دوره آماری بیش از ۵۰ سال بوده اند نشان از وقوع سیل بسیار بزرگ تر از سیلاب مشاهده‌ای اولیه دارند. تأثیر داده‌های بهنگام بر سیلاب‌های محاسباتی در مقایسه با برآوردهای قبلی از سری محدود، تفاوت‌های زیادی را نشان می‌دهند. برای مثال در رودخانه پروس^۸ در آمریکا با حوزه آبریزی به وسعت ۹۱۰۰۰ کیلومتر مربع در ۵۳ سال اول دوره آماری بزرگ‌ترین سیلاب لحظه‌ای ثبت شده ۳۲۸۵ متر مکعب برثانیه بود اما در سال ۱۹۵۴ رگبار مهمی در پایین دست حوزه رخ داد که منجر به سیلابی با دبی اوج ۲۶۸۵۰ متر مکعب برثانیه شده است [۱۶].

بابی و همکاران [۷]، اونوز و بایازیت [۱۹] ضمن استفاده از تحلیل فراوانی سیل دریافتند؛ موقعی که حجم نمونه سیلاب کم باشد برای انتخاب و تمیز توابع توزیع احتمالاتی از همدیگر مشکل جدی پیش می‌آید. در دسترس بودن داده‌ها یکی از جنبه‌های مهم تحلیل فراوانی سیل می‌باشد. هاسکینگ و والیس [۱۳]، سینگ [۲۴]، رائو و حامد [۲۰]، گرفیس و استیننگر [۱۲] تحلیل فراوانی سیلاب را به طور جامع مورد بررسی و استفاده قرار داده‌اند. این پژوهشگران تاکید دارند: احتمال وقوع سیلاب حدی یک برونویابی بر اساس داده‌های محدود می‌باشد. بنابراین هر چه اندازه نمونه بیشتر باشد صحبت برآوردها مناسب تر خواهد بود. اکثر مطالعات، رخدادهای سیل را فقط توسط دبی اوج و یا حداقل دبی روزانه بررسی می‌کنند. البته فرو و پرتو [۱۱] بر سهولت و برتری استفاده از دبی حداقل لحظه‌ای سیل سالانه به جای حداقل دبی سیل روزانه تاکید دارند. داشتن اطلاع در خصوص دبی اوج سیلاب لازم بوده اما کافی نیست. بنابراین لازم است ویژگی‌های سیل نه تنها توسط دبی اوج بلکه توسط حجم و تداوم آن نیز تعریف گردد [۱۶]. در این زمینه فقط تعداد محدودی از پژوهشگران این امر را مورد نظر قرار داده‌اند. به عنوان مثال جاوال و همکاران [۱۷] برای دست یابی ویژگی‌های سیلاب‌ها از دو روش تحلیل دبی اوج - حجم و دبی اوج - تداوم - فراوانی^۹ (QDF) استفاده نموده‌اند. تفاوت روش دوم با روش دبی اوج - حجم، در مقدار "تمداوم" است که به عنوان یک متغیر تصادفی در نظر گرفته نمی‌شود، بلکه "تمداوم" به عنوان یک عامل ثابت منظور می‌گردد. تحلیل QDF مشابه با تحلیل شدت - تداوم - فراوانی (IDF) بارش است که به طور معمول برای دست یابی به باران طرح بکار برده می‌شود. البته تحلیل‌های QDF علیرغم توانمندی قوی آن نسبت به IDF کمتر مورد استفاده واقع شده است. نتایج این مدل (QDF) برای یک مطالعه موردي شامل ۱۵۸ حوزه واقع در نواحی کیک و انتاریو^{۱۰} کانادا استفاده شد [۱۶]. کمبود ایستگاه‌های آب‌سنجدی در حوزه‌های آبریز کشور و محدودیت طول دوره آماری امکان بکارگیری این روش‌ها را کاهش داده است. ساندر [۲۲]، پژوهشی به منظور مقایسه

4- Paleo Hydrology

5- Angermanalven River

۶- رسوبات وارو (varve) ته نشسته‌های رسوبی با لایه‌های مجزای سالیانه هستند که تحت شرایط بی‌هوایی در دریاچه‌ها و محیط‌های دریایی و مصب رودخانه‌ها تشکیل می‌شوند.

7- Kansas City

1- Peros River

2- Flood-Duration-Frequency

3- Quebec and Ontario

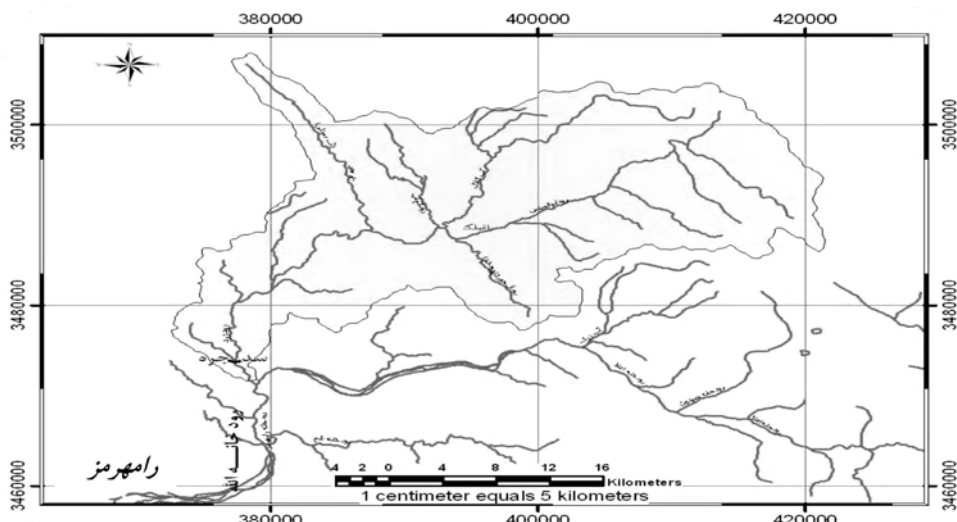
مبناًی تکمیل سری آماری سیلاپ در فاصله زمانی طراحی تا تدوین مقاله و مقایسه آبنمود طراحی پیشین و جدید ورودی به سد مخزنی جره می باشد. این امر در تبیین سیاست های کاربردی و عملی برای بهره برداری از سد و مدیریت سیلاپ کمک می نماید.

مواد و روش‌ها

منطقه مورد مطالعه

سد مخزنی جره بر روی رودخانه رودزرد در ۲۰ کیلومتری شمال شرقی رامهرمز (استان خوزستان) احداث شده و در شرف بهره برداری است. این سد با حجم مخزن ۱۸۰ میلیون متر مکعب در بالادست شبکه آبیاری، سد انحرافی و شهر رامهرمز قرار دارد. بهره برداری از سد علاوه بر تامین نیاز شبکه آبیاری و زهکشی رامهرمز و تولید انرژی برقابی، به منظور کاهش سیلاپ پایین دست نیز صورت می گیرد [۶]. رودخانه رودزرد از دامنه های شرقی سفیدکوه و کوه منگشت واقع در شمال شرقی شهرستان رامهرمز سرچشممه می گیرد و پس از طی مسیر حدود ۸۵ کیلومتر در محلی به نام ماشین به رودخانه اعلاء ملحق شده و در این محل سامانه رودخانه ای الله را تشکیل می دهدن. وسعت، محیط و ضریب گراویلیوس حوزه به ترتیب حدود ۸۸۹ کیلومتر مربع، ۱۹۴ کیلومتر و ۱/۸۳ می باشد. ارتفاع متوسط و میانه حوزه ۱۲۰۰ و ۸۹۰ متر از سطح دریاست. شیب متوسط حوزه و آبراهه اصلی نیز به ترتیب ۳/۱ و ۳/۵ درصد می باشد. شکل (۱) موقعیت حوزه آبخیز مورد مطالعه را نشان می دهد.

اولیه برای دوره های بازگشت ۱۰۰۰ و ۱۰۰۰۰ ساله به ترتیب برابر ۲۱۸۰ و ۳۶۲۰ متر مکعب بر ثانیه می باشد در صورتی که سیلاپ های حادث شده در فاصله طراحی تا احداث سد در تاریخ ۱۳۷۲/۸/۲۰ و ۱۳۷۷/۱/۹ به ترتیب ۲۱۵۸ و ۳۷۶۳ متر مکعب بر ثانیه می باشد. چنانچه صحبت این دو واقعه پذیرفته شود این امر بدین معنا خواهد بود؛ که در یک دوره متوالی ۵ ساله سیلاپ حاکم بر احتمال وقوع این دو واقعه در فاصله زمانی کوتاه ۵ ساله بسیار ناچیز و در حد ۲/۵ در میلیون می باشد [۲۱، ۱۸]. زمان انتقال آبنمود سیل از محل سد تا دشت و شهرستان رامهرمز کم می باشد. این زمان برای دبی ۲۰۰۰ متر مکعب بر ثانیه حدود ۳ ساعت است و با وجود سیلاپ های شاخه اعلاء و تلخ در کل سامانه رودخانه الله این مسئله تشید می گردد [۲]. لازم به ذکر است دو واقعه سیل ۱۳۷۷ و ۱۳۷۲ از بین سری آماری ۳۶ ساله ثبت شده، دارای رتبه های اول و دوم هستند. در سال آبی ۱۳۶۸-۶۹ نیز سیل بزرگی حادث شده و منجر به تخریب ایستگاه آب سنگی گرگیده است. تخریب ایستگاه و پل رودزرد در این واقعه، دلالت بر بزرگی این سیل و قابل توجه بودن آن در سری آماری می باشد. با توجه به اهمیت سه واقعه (با بیشترین مقادیر در سری ۳۶ ساله)، نمی توان به سادگی آن ها را از سری آماری حذف نمود بلکه باید با جدیت به توجیه مقادیر کمی آن ها پرداخت. افزایش حجم نمونه آماری و داده های نادر سیل، باعث افزایش دقت برآوردها، احتمال تغییر نوع تابع توزیع آماری و تأثیر بر مقادیر سیل در دوره بازگشت های



شکل (۱): موقعیت حوزه آبخیز رودخانه رودزرد و سد مخزنی جره

روش پژوهش

برای دسترسی به هدف پژوهش از روش تحلیل فراوانی به دلیل تناسب و تکامل مبانی نظری آن استفاده شد. تحلیل فراوانی شامل مرحلی است که در آن ها با استفاده از دبی های حداقل لحظه ای به

مخالف دارد. بنابراین مطالعه این موضوع و روشن نمودن تغییر یا عدم تغییر نوع توزیع و مقادیر واقعی تر سیل طرح از ملزمومات مطالعات هیدرولوژیکی و پایداری سد جره خواهد بود. هدف اساسی این پژوهش برآورد و ارزیابی سیلاپ طرح سد مخزنی بر

جدول ۱- دبی حداکثر لحظه‌ای مشاهده‌ای دوره آماری ۸۵-

۱۳۴۹ رودخانه رودزرد در ایستگاه ماشین *

دبی (m ³ /s)	اصل (cm)	سال آبی	ردیف	دبی (m ³ /s)	اصل (cm)	سال آبی	ردیف
۷۴	۱۷۰	۶۷-۶۸	۱۹	۶۰۲	۳۵۶	۴۹-۵۰	۱
***	۱۰۶۵	۶۸-۶۹	۲۰	۲۴۱	۲۱۰	۵۰-۵۱	۲
۶۹۸	۳۸۰	۶۹-۷۰	۲۱	۳۴۵	۲۶۷	۵۱-۵۲	۳
۶۲۴	۳۶۰	۷۰-۷۱	۲۲	۳۲۲	۲۷۰	۵۲-۵۳	۴
۱۰۶۶	۴۷۴	۷۱-۷۲	۲۳	۶۸۱	۴۲۰	۵۳-۵۴	۵
۲۱۵۸	۶۶۳	۷۲-۷۳	۲۴	۶۸۱	۳۸۰	۵۴-۵۵	۶
۵۰۲	۳۵۸	۷۳-۷۴	۲۵	۵۱۴	۳۸۰	۵۵-۵۶	۷
۳۰۰	۳۱۰	۷۴-۷۵	۲۶	۷۷۲	۵۹۰	۵۶-۵۷	۸
۱۵۰	۲۸۰	۷۵-۷۶	۲۷	۷۹۰	۴۵۰	۵۷-۵۸	۹
۳۷۶۳	۸۰۰	۷۶-۷۷	۲۸	۹۵۰	۵۲۰	۵۸-۵۹	۱۰
***	۳۵۰	۷۷-۷۸	۲۹	۲۶۴	۲۶۰	۵۹-۶۰	۱۱
۱۶۰	۳۳۷	۷۸-۷۹	۳۰	۴۱۰	۳۸۶	۶۰-۶۱	۱۲
۲۰۷	۳۶۰	۷۹-۸۰	۳۱	۳۲۶	۳۶۵	۶۱-۶۲	۱۳
۳۳۰	۳۳۰	۸۰-۸۱	۳۲	۳۱۶	۳۵۸	۶۲-۶۳	۱۴
۲۸۸	۳۲۰	۸۱-۸۲	۳۳	۴۶۶	۴۱۰	۶۳-۶۴	۱۵
۴۲۷	۴۴۰	۸۲-۸۳	۳۴	۳۷۳	۳۸۰	۶۴-۶۵	۱۶
۳۰۰	۳۵۰	۸۳-۸۴	۳۵	۱۱۹۹	۵۸۳	۶۵-۶۶	۱۷
۲۳۰	۲۰۰	۸۴-۸۵	۳۶	۷۸۱	۴۶۰	۶۶-۶۷	۱۸

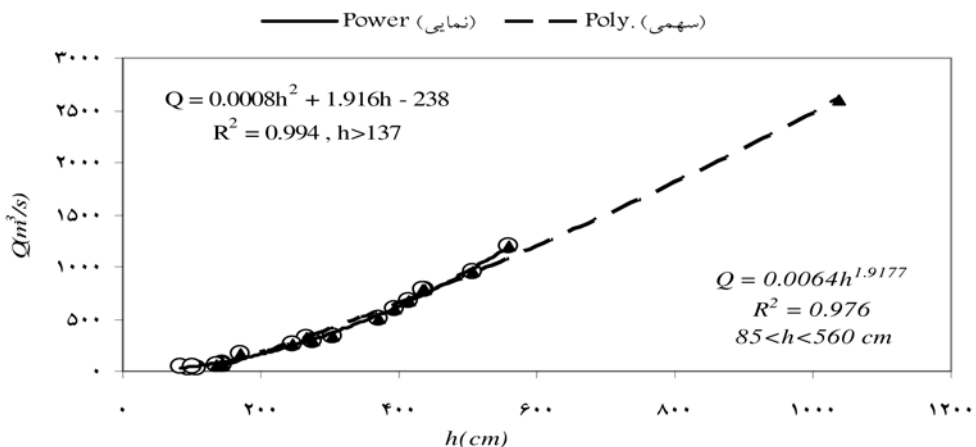
* : آمار از بایگانی فنی مطالعات آبهای سطحی سازمان آب و برق خوزستان اخذ شده است.

** : این سال فاقد آمار می‌باشد. زیرا ایستگاه در اثر سیل تخریب شده بود.

تصادفی بودن، استقلال و داده‌های پرت انجام شد. سپس تحلیل فراوانی و میزان انطباق توزیع‌های مختلف آماری بر سری داده‌های دبی حداکثر لحظه‌ای با استفاده از نرم افزار تحلیل فراوانی هیدرولوژیکی هیفا^۹ صورت گرفت. برای این منظور از توزیع‌های آماری نرمال، لوگ نرمال دو پارامتری، لوگ نرمال سه پارامتری، گاما دو پارامتری، پیرسون تیپ III، لوگ پیرسون تیپ III و گامبل استفاده شد. برآورد پارامترهای توزیع از دو روش گشتاور و حداکثر

عنوان یک متغیر مستقل از زمان و با استفاده از قوانین احتمالاتی می‌توان سیلاب طرح را از طول دوره آماری موجود برآورد نمود [۲۰]. به طورکلی، تحلیل فراوانی بررسی احتمالی متغیر تصادفی سیل است که شامل، جمع آوری نمونه (دبی حداکثر لحظه‌ای سالانه)، تکمیل داده‌های نمونه، آزمون آماری، انتخاب توزیع مناسب آماری (تابع چگالی f(x) یا تابع توزیع F(x) برآورد مقادیر آزمون‌های موردنیاز برای برآوردهای تابع چگالی و انتخاب بهترین تابع و بالاخره محاسبه دوره برگشت سیل می‌باشد.

قبل از پرداختن به چگونگی استخراج داده‌ها و برآوردهای سیل، آبدھی متوسط ماهانه داده‌ها در سری مطالعه پیشین و سری بهنگام شده در این پژوهش مورد مقایسه قرار گرفتند. به منظور برآوردهای سیل، در مطالعات پیشین از آمار و اطلاعات ایستگاه رودزرد ماشین که در نزدیکی پایین دست محل سد واقع شده، استفاده گردید. محاسبات مطالعه پیشین بر اساس دبی‌های حداکثر لحظه‌ای ثبت شده در فاصله سال‌های آبی ۱۳۴۹-۶۱ از دفتر بررسی‌های منابع آب وزارت نیرو (تعداد ۱۲ واقعه)، سال‌های آبی ۱۳۶۱-۶۵ بر اساس اطلاعات دریافتی از سازمان آب و برق خوزستان (تعداد ۴ واقعه) و آمار بازسازی شده سال‌های ۱۳۳۶-۴۹ (تعداد ۱۳ واقعه) می‌باشد [۶]. پژوهش حاضر بر اساس دبی‌های حداکثر لحظه‌ای ثبت شده در سازمان آب و برق خوزستان به تعداد ۳۶ مشاهده انجام گرفته است. داده‌های استفاده شده مورد نقد، بررسی، اصلاح، آزمون و تحلیل قرار گرفتند. بدین منظور تمام داده‌های مشاهده‌ای حداکثر سالانه، آبمنودهای سیل و منحنی‌های دبی - اشل مورد بررسی قرار گرفت. دبی‌های حداکثر لحظه‌ای و اشل متناظر آن‌ها در جدول (۱) ارایه شده است. در سری ۳۶ ساله تعداد ۲ واقعه مفقود و تعداد ۴ واقعه مشکوک بوده است (جدول ۲). تراز سطح آب وقایع مفقود، اندازه‌گیری شده و در دسترس است. مشکوک بودن داده‌ها به دلیل عدم همخوانی رواناب خالص ناشی از وقایع بارش آن‌ها و یا زوج دبی - اشل متناظر می‌باشد. به منظور تکمیل داده‌های مفقود و مشکوک از دو رابطه دبی - اشل استفاده شد. رابطه اول با استخراج شده‌اند. با توجه به اینکه دامنه مشاهدات بکار رفته در این رابطه بین ۳۵ تا ۱۲۰ متر مکعب بر ثانیه بوده‌اند، دامنه اعتبار آن نیز در این حد منظور و استفاده شد. لازم به ذکر است که اندازه‌گیری‌ها به تعداد ۲۰ مورد در سال‌های مختلف انجام شده بود که با توجه به تغییرات مقطع اشل‌های مورد استفاده به یک مرجع انتقال داده شد. در ادامه به منظور استخراج رابطه دوم، دبی‌های پایین حذف و بالاترین نقطه منحنی توسط برون یابی از طریق روش مانینگ برآورده گردید. اضافه می‌شود که در رابطه مانینگ تمام عوامل هندسی دخیل در رابطه مانینگ برداشت شده بودند و ضربیب زبری از طریق بالاترین مشاهده مستقیم برآورده گردید. منحنی‌ها و روابط دبی - اشل مورد استفاده در شکل (۲) نشان داده شده است. در این پژوهش ضمن تکمیل و بررسی صحت آمار، آزمون‌های آماری لازم شامل



شکل ۲- روابط دبی- اشل در ایستگاه آب سنجی رودزرد ماشین

اساس توزیع برتر اقدام به تعیین سیلاپ با دوره بازنگشت‌های مختلف گردید. جهت تعیین آبنمود سیلاپ و سیل طرح از روش نمایه سیلاپ ۱۱ استفاده شد. روش نمایه سیلاپ برای تحلیل سیلاپ‌های ثبت شده در ایستگاه آب سنجی کاربرد دارد. در این رابطه وجود تعداد کافی آبنمود سیلاپ حداکثر سالانه ضروری است. در این شیوه، آبنمودهای سیلاپ سالانه در طول دوره آماری، مبنای تعیین آبنمود سیلاپ طرح قرار گرفت. بدین ترتیب که ابتدا تمام آبنمودهای سیلاپ حداکثر سالانه ثبت شده از آمار و وقایع تاریخی استخراج و آبنمودهای غیر متعارف حذف و آبنمودهای ناقص تکمیل شد. جهت تکمیل آبنمودهای ناقص از روش گرافیکی، ترسیم دبی روزانه و یا دبی نیم روزه (۱۲ ساعته) در زمان ابتدا و خاتمه سیلاپ استفاده شد. با ترسیم آبنمود روزانه روی آبنمود ساعتی به صورت پله‌ای آبنمودها به شکل مناسبی تکمیل و اصلاح شده‌اند. در مرحله بعد پس از ترسیم و بررسی مشخصات آبنمودها شامل دبی اوج، زمان اوج، دبی پایه و زمان پایه از آن‌ها تعداد ۹ سیلاپ مشاهده‌ای انتخاب گردید. در مطالعات پیشین به منظور محاسبه آبنمود نمایه سیل به ترتیب در جداول (۳) و (۴) معنکس شده مشخصات سیلاپ‌های منتخب جهت تهیه آبنمود نمایه مطالعات پیشین و پژوهش حاضر بود. مشخصات سیلاپ‌ها مربوط به زمان وقوع، دبی اوج و حجم سیل می‌باشند. در ادامه کار با متوسط‌گیری از اجزاء متناظر آبنمودها

درست نمایی صورت می‌گیرد [۹]. بهترین توزیع آماری منطبق بر داده‌ها، براساس حداقل مقدار میانگین انحرافات نسبی مقادیر مشاهده‌ای دبی حداکثر لحظه‌ای و مقادیر محاسبه‌آن در توزیع، میانگین مربع انحرافات نسبی، آماره مربع کای ۱۰ و مقایسه برازش توزیع بر داده‌های مشاهده‌ای انتخاب گردید [۴، ۹]. در ادامه کار بر

جدول (۲): دبی‌های حداکثر لحظه‌ای ناقص و مشکوک به همراه مقادیر اصلاح شده

سال آبی	اشل (cm)	شیفت (cm)	دبی مشاهداتی (m³/s)	دبی محاسباتی (m³/s)
۱۳۵۶-۵۷	۵۹۰	-۱۰	۷۷۲	۱۱۴۲
۱۳۶۸-۶۹	۱۰۵۶	-۲۷	مفقود	۲۵۹۴
۱۳۷۱-۷۲	۴۷۴	-۳۱	۱۰۶۶	۷۶۱
۱۳۷۲-۷۳	۶۶۳	-۳۳	۲۱۵۸	۱۲۸۶
۱۳۷۶-۷۷	۸۰۰	-۳۹	۳۷۶۳	۱۶۸۳
۱۳۷۷-۷۸	۳۵۰	-۴۰	مفقود	۳۸۴

جدول ۳- مشخصات سیلاپ‌های مشاهداتی به منظور محاسبات آبنمود بارز (سری اولیه)

ردیف	تاریخ وقوع	ردیف	تاریخ وقوع	ردیف	
حجم (m³)	دبی اوج (m³/s)	تاریخ وقوع	ردیف	حجم (m³)	دبی اوج (m³/s)
۱	۱۳۵۰/۰۱/۱۷	۱۰۵	۱۳۵۰/۱۰/۲	۵/۶۹	۱۳۶
۲	۱۳۵۱/۰۱/۲۴	۱۱۰	۱۳۵۶/۰۹/۲۴	۹/۸۸	۱۳۶
۳	۱۳۵۰/۱۰/۱	۴۰۶	آبنمود نمایه	۲۷/۸	۱۷۹

جدول ۴- مشخصات سیلاب‌های مشاهداتی به منظور محاسبات آبنمود بارز
(سری بهنگام شده)

ردیف	تاریخ وقوع	حجم (mcm)	دبي اوج (m ³ /s)
۱	۱۳۵۸/۱۱/۳	۴۰/۶	۹۵۰
۲	۱۳۶۱/۱۱/۴	۱۱/۲	۳۳۶
۳	۱۳۶۳/۰۱/۲	۱۰/۹	۳۱۶
۴	۱۳۶۵/۰۹/۲۸	۳۹/۱	۱۱۹۹
۵	۱۳۶۵/۱۲/۱۳	۱۶/۲	۴۳۸
	آبنمود نمایه	۷۲۹	۷۸۱
		۱۹/۸	۳۲/۹
		۷۰/۴	۴/۵
		۲۷/۳	

وجه اختلاف این دو سری را به خوبی نشان می‌دهد. آبدهی متوسط سالانه ورودی به مخزن در زمان طراحی برابر $7/30$ مترمکعب بر ثانیه معادل 230 میلیون مترمکعب در سال محاسبه شده است. پژوهش حاضر این رقم را حدود 10 مترمکعب بر ثانیه معادل 315 میلیون مترمکعب در سال نشان می‌دهد. با این حساب آبدهی ورودی به مخزن سد به میزان 85 میلیون مترمکعب افزایش نشان می‌دهد. افزایش مذبور برابر 37 درصد حجم سالانه ورودی به مخزن محاسبه شده در مطالعات پیشین می‌باشد. این حجم آب، معادل آب مورد نیاز حدود 6200 هکتار از اراضی دشت رامهرمز با الگوی کشت و راندمان طراحی ارایه شده اولیه می‌باشد. بیش ترین درصد افزایش آبدهی ناشی از ماه‌های پر آب سال و متأثر از روزهای سیلابی است. آبدهی اوج با دوره بازگشت‌های مختلف محاسبه و به همراه دبی‌های اوج استخراج شده از مطالعات پیشین و در جدول (۵)، برای مقایسه ارایه شده است. مقادیر دبی اوج در دوره بازگشت‌های پایین‌تر از 25 سال، در تمام توابع توزیع احتمالاتی نزدیک به هم برآورد شدند. اما اختلاف نتایج حاصل از توابع در دبی با دوره بازگشت‌های بالا پیش آمده است. میزان انطباق توزیع‌های مختلف

و تقسیم عرض‌ها بر دبی اوج، آبنمود نمایه بی بعد استخراج گردید. با داشتن مشخصات آبنمود نمایه بی بعد و دبی اوج با دوره بازگشت‌های مختلف حاصل از تابع توزیع برتر، مشخصات آبنمود سیلاب با دوره بازگشت‌های مختلف محاسبه شد. در نهایت حجم آبنمودها برای تداوم زمان پایه آبنمود محاسبه گردید. پس از کسر حجم دبی پایه آبنمودها، رواناب خالص از تقسیم حجم آبنمود با دوره بازگشت‌های مختلف بر سطح حوزه تعیین شد.

نتایج و بحث

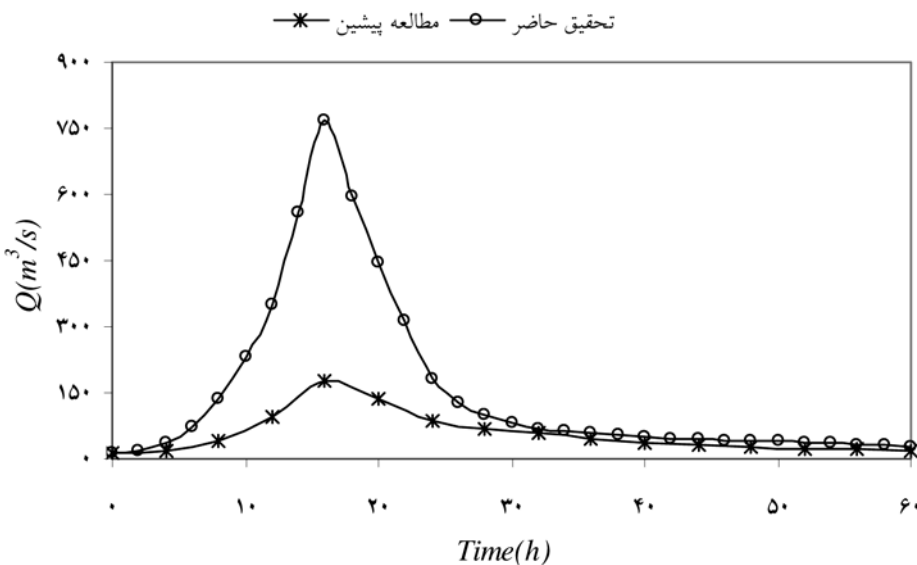
بررسی داده‌های جمع آوری شده برای این پژوهش نشان داد که در فاصله زمانی طراحی سد تا تدوین این پژوهش تعداد 18 واقعه هیدرولوژیکی حدی ثبت شده، تعداد 18 سال آمار آبدهی در مقیاس روز و ساعتی برای روزهای سیلابی تولید شده است که این امر به دقیقت برآوردها و عامل‌های محاسبه شده کنونی منجر گردید. گرچه بحث در خصوص آبدهی متوسط ماهانه و سالانه موضوع این پژوهش نیست اما جهت روشن شدن اختلاف دو سری آماری استفاده شده اولیه و بهنگام شده مفید و سودمند می‌باشد. شکل (۳)



شکل ۳- مقایسه سری‌های آبدهی ماهانه ورودی به مخزن سد جره

جدول (۵) : تحلیل سیلاب رودخانه روزدزد محل مسد مخزنی جرده در مطالعات پیشین و سری بهنگام شده (دھی به متر مکعب ثانیه)

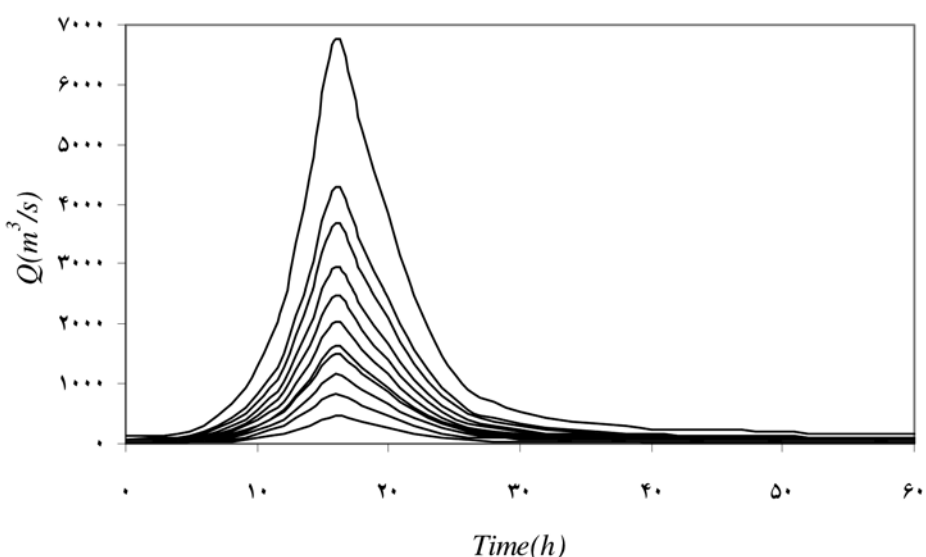
دوره بازگشت (سال)										توزیع آماری	
دو روش					روش						
۱۰۰۰	۱۰۰۰	۵۰۰	۲۰۰	۱۰۰	۵۰	۲۵	۱۰	۲			
۳۹۶۰	۲۱۸۰	-	-	۱۲۰	-	-	۶۲۰	-	گشتوار	لوگ پیرسون تیپ ۳*	
۲۴۳۴	۲۱۲۳	۲۰۱۸	۱۸۶۹	۱۷۴۵	۱۶۱۰	۱۴۶۱	۱۲۲۹	۵۹۵	گشتوار	گشتوار	
۲۴۳۴	۲۱۲۳	۲۰۱۸	۱۸۶۹	۱۷۴۵	۱۶۱۰	۱۴۶۱	۱۲۲۹	۵۹۵	گشتوار	نرمال	
۹۷۷۹	۴۲۹۸	۳۶۸۵	۲۹۶۰	۲۴۷۰	۲۰۲۷	۱۶۲۷	۱۱۵۸	۴۵۷	گشتوار	لوگ نرمال	لوگ پارامتری *
۹۷۷۹	۴۲۹۸	۳۶۸۵	۲۹۶۰	۲۴۷۰	۲۰۲۷	۱۶۲۷	۱۱۵۸	۴۵۷	گشتوار	حداکثر درست نمایی	گامبل تیپ ۱
۵۹۴۱	۳۹۵۹	۳۴۴۹	۲۸۳۱	۲۴۰۳	۲۰۰۵	۱۶۳۷	۱۱۸۹	۴۶۷	گشتوار	گشتوار	گامبل تیپ ۱
۹۷۰۴	۴۲۶۳	۳۶۵۹	۲۹۴۳	۲۴۵۹	۲۰۲۱	۱۶۲۵	۱۱۵۹	۴۶۰	گشتوار	گشتوار	گامبل تیپ ۱
۴۴۳۷	۳۳۵۳	۳۰۳۱	۲۶۱۰	۲۲۹۳	۱۹۷۷	۱۶۶۲	۱۲۴۳	۴۶۸	گشتوار	گشتوار	گامبل تیپ ۱
۳۴۹۹	۲۷۲۱	۲۴۸۷	۲۱۷۸	۱۹۴۳	۱۷۰۶	۱۴۶۶	۱۱۴۱	۵۰۵	گشتوار	گشتوار	گامبل تیپ ۱
۹۰۰۲	۴۱۹۵	۳۶۸۴	۳۰۳۶	۲۵۶۷	۲۱۱۸	۱۶۹۳	۱۱۷۱	۴۱۶	گشتوار	گشتوار	گامبل تیپ ۱
۷۶۳۱	۴۶۴۹	۳۹۴۰	۳۱۱۸	۲۵۷۳	۲۰۸۹	۱۶۶۰	۱۱۶۷	۴۵۵	گشتوار	گشتوار	گامبل تیپ ۱
۷۰۲۶	۴۳۷۴	۳۷۲۲	۲۹۷۹	۲۴۷۵	۲۰۲۴	۱۶۱۹	۱۱۴۹	۴۵۷	گشتوار	گشتوار	گامبل تیپ ۱
۳۹۲۴	۳۰۳۶	۲۷۶۷	۲۴۱۴	۲۱۴۶	۱۸۷۷	۱۶۰۶	۱۲۴۰	۵۱۴	گشتوار	گشتوار	گامبل تیپ ۱
۳۰۰۴	۲۳۵۵	۲۱۵۹	۱۹۰۰	۱۷۰۴	۱۵۰۷	۱۳۰۸	۱۰۴۱	۵۱۰	گشتوار	گشتوار	گامبل تیپ ۱
۲۲۶	۱۴۴	۱۲۳	۹۸/۹	۸۲/۵	۶۷/۷	۵۴/۳	۳۸/۷	۱۵/۳	رواناب خالص(mm)	حجم سیلاب با تداوم ۶ ساعته(MCM)	*
۲۵۵	۱۶۲	۱۳۸	۱۱۱	۹۲/۸	۷۶/۲	۶۱/۱	۴۳/۵	۱۷/۲			**: ارقام مربوط به مطالعات پیشین به قتل از مرجع شناسه [۶].



شکل ۴- آبنمودهای بارز سیل در محل سد مخزنی جره

کنونی بوجود آید. به عنوان مثال دبی اوج سیل طرح برآورده شده اولیه برای دوره بازگشت های ۱۰۰۰ و ۱۰۰۰۰ ساله (معیار طراحی سریزها) به ترتیب برابر ۲۱۸۰ و ۳۶۲۰ متر مکعب بر ثانیه می باشد. این مقادیر در پژوهش حاضر، ۴۲۹۸ و ۶۷۷۹ متر مکعب بر ثانیه برآورده شده است.تابع توزیع احتمالاتی ارجح در مطالعه پیشین لوگ پیرسون تیپ III بوده، اما در پژوهش حاضر لوگ نرمال می باشد. علیرغم تغییر تابع توزیع، عمدۀ اختلاف دبی های اوج به افزایش تعداد مشاهده های سیل برمی گردد. آبنمودهای نمایه مطالعات پیشین و پژوهش حاضر در شکل (۴) ارایه شده است. آبنمود نمایه مطالعات پیشین بر مبنای ۵ مشاهده تهیه شده بود که دبی

بر سری داده های سیل با استفاده از معیار های آماری بیان شده در روش کار، بر مبنای حداقل خطاهای صورت گرفت. بر اساس این معیار ها توزیع برتر، لوگ نرمال می باشد. متوسط مشاهدات سری اولیه مورد استفاده در برآورده سیلاب طرح برابر ۳۹۰، انحراف معیار آن ۹۶۵ متر مکعب بر ثانیه بوده است. اما این پژوهش بر اساس مشاهدات بهنگام شده از تعداد ۳۶ واقعه با متوسط برابر ۴۹۴، انحراف معیار ۵۹۵ و حداکثر دبی لحظه ای برابر ۲۵۹۴ متر مکعب در ثانیه می باشد. یافته های فوق (تفاوت بین سری های مورد استفاده در مطالعات پیشین و پژوهش حاضر) باعث گردید که اختلاف فاحشی بین دبی های اوج برآورده شده اولیه و



شکل ۵- آبنمودهای سیل در محل سد مخزنی جره با استفاده از سری بهنگام شده (آبنمودهای حاصل به ترتیب از کوچک به بزرگ مربوط به دوره برگشت های ۲، ۵، ۱۰، ۲۰، ۵۰، ۱۰۰، ۲۰۰، ۵۰۰، ۲۵۰، ۱۰۰۰، ۱۰۰۰۰ و ۱۰۰۰۰۰ ساله می باشند).

مبني بر اختلاف مقادير حاصله از دو سري داده پيشين و بهنگام شده همخوانی دارد.

نتيجه‌گيري

در پژوهش حاضر افزایش اندازه نمونه آماری سيلاب، باعث بهبود دقت برآوردهای سيل طرح شده است. افزایش طول سري آماري و تكميل داده‌های مفقود سيلاب‌های بزرگ، نوع توزيع آماري داده‌ها را تغيير و مقادير برآوردي سيل طرح را به شدت تحت تاثير قرار داده است. به نحوی که دبی اوج سيلاب‌های ۱۰۰۰ و ۱۰۰۰۰ ساله طراحی سرريز هاتا حد ۸۷ و ۹۷ درصد افزایش نشان می‌دهند. با اين که نوعتابع توزيع آماري در سري داده‌های سيل مطالعات پيشين و پژوهش حاضر تغيير يافته، لیکن عمدۀ اختلاف دبی‌های اوج به افزایش تعداد مشاهده‌ها و اندازه نمونه بر می‌گردد. شكل آبنمود نمایه ورودی به مخزن سد جره به صورت کلی تغيير يافته است. کارآيی كترول سيلاب و ايمني هيذرولوژيکي اين سد به حجم سيلاب، شكل آبنمود و دبی اوج برآورده شده در پژوهش حاضر بستگي دارد. به منظور افزایش کارآيی مخزن در مدیريت سيلاب و حفظ پايداري سازه سد، تدوين و اجرای برنامه کوتاه مدت بهره برداری در زمان سيلاب ضروري است. نتایج اين پژوهش در برآورد دبی اوج و آبنمود سيل مكان‌های اندازه‌گيري نشده، حوزه آبخيز موردنطالعه و حوزه‌های مجاور می‌تواند مفید باشد. در ادامه اين پژوهش پيشنهاد می‌شود قشر رواناب خالص ايجاد شده از حجم سيلاب ۱۰۰۰۰ ساله با مطالعات هواشناسی و حداچر بارش محتمل (PMP) كترول و مقاييسه گردد.

منابع

- ۱- افتخاريان، ل.، ابريشم چي، ا. تجريسي، م. ۱۳۸۴. تحليل عدم قطعيت تراز سطح آب رودخانه سیستان و بررسی قابلیت اعتماد سامانه کترول سيل. نشریه علمی - پژوهشی هيذرولوژیک، جلد ۱، ۳۹-۵۴.
- ۲- حمادي، ک. و نوذريان، ل. ۱۳۸۲. رونديابي سيل رودخانه الله با استفاده از مدل موج سينماتيك چهارمين کنفرانس هيذرولوک ايران دانشگاه شيراز، ۱۲۲۷-۱۲۳۵.
- ۳- خواجه موگهي، ع. ک. ۱۳۷۹. انتخاب سيلاب طراحی. کميته ملي سدهای بزرگ ايران. نشریه شماره ۲۶، ۱۲۱ ص.
- ۴- رضائي پژند، ح. ۱۳۸۰. کاربرد آمار و احتمال در منابع آب. انتشارات سخن‌گستر، ۴۵۶ ص.
- ۵- صدقى، ح. ۱۳۷۱. ارزياپي و برآورد ابعاد حداچر بارش و سيلاب محتمل حوزه آبريز کارون در پل شالو به عنوان معيار طراحى سد کارون ۳. شركت منابع آب و نيزوی ايران، ۵۵ ص.
- ۶- مهندسين مشاور مهاب قدس. ۱۳۶۸. طرح آبياري و سدسازی رامهرمز - گزارش هيذرولوژي، سازمان آب و برق خوزستان، ۸۷ ص.

اوج آن ۱۷۹ مترمكعب در ثانيه و حجم سيلاب ناشی از آن ۱۳/۸ ميليون مترمكعب برای تداوم ۶۰ ساعته بوده است. در پژوهش حاضر آبنمود نمایه بر مبنای ۹ واقعه استخراج شد. دبی اوج آبنمود نمایه استخراج شده برابر ۷۶۷ مترمكعب در ثانيه و حجم سيل حاصل از آن ۳۳/۹ ميليون مترمكعب برای همان تداوم محاسبه گرديد. اين اختلاف ناشی از وقوع سيلاب‌های بعد از دوره طراحى می‌باشد. در ضمن دبی اوج آبنمود نمایه استفاده شده از متوسط دبی‌های حداچر لحظه‌ای حادث شده بيشتر می‌باشد اين نكته در استخراج آبنمود نمایه عموماً رعایت می‌گردد اما در مطالعات پيشين رعایت نشده است. شكل آبنمود سيلاب در طراحى سازه‌های هيذرولوکي به ويزه سرريز سدها از اهميت ويزه‌اي برخوردار است. بر مبنای توزيع آماري برتر يعني لوگ نرمال و آبنمود نمایه، آبنمود سيل با دوره بازگشت‌های مختلف تعیین گردید. شكل (۵) آبنمود سيلاب به ازاي دوره بازگشت‌های مختلف را نشان می‌دهد. حجم آبنمودها و رواناب خالص ناشی از آن‌ها مطابق روش کار ذكر شده در مواد و روش‌ها محاسبه و به جدول (۵) اضافه گرديد. قشر رواناب خالص حاصل از حجم سيلاب با دوره بازگشت‌های ۱۰۰ و ۱۰۰۰ ساله به ترتيب برابر ۱۶۲ و ۲۵۵ ميلي متر در سطح حوزه آبخيز مورد مطالعه محاسبه گرديد. مقاييسه حجم آبنمود‌های با دوره بازگشت‌های مختلف پژوهش حاضر با حجم متاظر مطالعات پيشين [۶] نشان دهنده اختلاف کم بين آن‌ها است. دليل اين امر به انتخاب مشاهدات برای تعیین آبنمود نمایه بر می‌گردد. به طور کلی خصوصيات هندسى حوزه موردنطالعه و سيلاب‌های مشاهداتی آن نشان می‌دهند که حوزه از آبنمود‌های سيل با شبیه تند (تیز) برخوردار است. اين ملاحظات در تعیین آبنمود نمایه فعلی مدنظر بود اما در مطالعات پيشين از آبنمود‌های با دبی اوج پاين استفاده شده که اين موضوع به افزایش نسبی حجم آبنمود نمایه اوليه منجر شده است. به عبارتی محدوديت داده‌های سيل در مطالعات پيشين باعث شده که نسبت دبی اوج به حجم آبنمود نمایه اوليه تا حد دو برابر از همين نسبت در پژوهش حاضر بزرگ تر باشد. به طور معمول دبی اوج سيلاب در مناطق خشك و نيمه خشك زياد و حجم سيلاب به طور نسبی کم می‌باشد. نتایج اين پژوهش با اين قاعده هيذرولوژيکي کلی مطابقت دارد.

عليغم اين که پژوهش صدقى [۵] به کاهش دبی اوج سيلاب طرح انجاميد؛ لیکن مطالعه حاضر نشانگر افزایش دبی‌های اوج سيلاب ورودی به مخزن سد جره می‌باشد. اين امر می‌تواند بدليل ضریب تغیرات بالای سري سيل در حوزه آبخيز موردنطالعه باشد. مطالعه حاضر محدوديت‌های ذكر شده توسيط پژوهشگران قبلی در زمينه اندازه نمونه سري سيل، داده‌های مفقود [۱۲، ۱۵] و گزينش تابع توزيع برتر احتمال [۲۰، ۷] را تا حدی برطرف نموده است. بنابراین نتایج حاصله از تحليل سري بهنگام شده سيل، دقت پيش تر نسبت به مطالعات پيشين سد جره داشته است. يافته‌های اين مطالعه با پژوهش‌های برایان یانگ و مک‌نور [۸] در زمينه تحليل فراوانی،

- Subcommittee, U.S. Geological Survey, Office of Water Data, Coordination, Reston, Virginia, 194p.
- 16- International Committee of Large Dams(ICOLD) - Committee on Design Flood. 1992. Selection of Design Flood-Current Methods. Bulletin 82 ICOLD, Paris, 94p.
- 17- Javelle, P. Ouarda, T. Lang, M. Bobee, B. Galea, G. and Gresillon, J. 2002. Development of regional flood- duration-frequency curves based on the index - flood method. Journal of Hydrology, 258, 249-259.
- 18- Linsley, R.K. and Franzini, J.B. 1992. Water Resources Engineering. Mc Graw Hill International Book Copmany, 516 p.
- 19- Onoz, B. and M. Baryazit. 1995. Best-fit Distributions of Largest Available Flood Samples. Journal of Hydrology, 167, 195-208.
- 20- Rao, A.R. and Hamed, K.H. 2000. Flood Frequency Analysis. CRC Press, Boca Raton, 350 p.
- 21- Raudkivi, A.J. 1979. An Advanced Introduction To Hydrologycal Processes and Modlling. Printed In Great Britan, 479 p.
- 22- Sander, M. 2002. The relationship between annual varve thickness and maximum annual discharge (1909-1971). Jounal of Hydrology, 263, 23-35.
- 23- Sedghi, H. 1992. Evaluation of probabale maximum precipitation and probable maximum flood (PMP/PMF) of Karun III Dam. Iran Water and Power Resources Development Co., 118 p.
- 24- Singh, V.P. 1998. Entropy-Based Parameter Estimation in Hydrology. Kluwer Academic Publishers, Boston 365 p.
- 7- Bobee, B. Caradias, G. Ashkar, F. Bernier, J. and Rasmussen, P. 1993. Towards a Systematic Approach to Comparing Distributions used in Flood Frequency Analysis. Journal of Hydraulics, 142, 121-136.
- 8- Bryan Young, C. and McEnroe, B.M. 2006. Updated Precipitation Frequency Estimates for Kansas City: Comparison with TP-40 and HYDRO-35. Journal of Hydrologic Engineering, 11, 206-213.
- 9- Chow,V.T. 1988. Applied hydrology. McGraw-Hill Book Company, 572p.
- 10- De Michele, C., Salvadori, G., Canossi, M. Petaccia, A. and Rosso, R. 2005. Bivariate Statistical Approach to Check Adequacy of Dam Spillway. Journal of Hydrologic Engineering, 10, 50-57.
- 11- Ferro, V. and Porto, P. 2006. Flood Frequency Analysis for Sicily, Italy. Journal of Hydrologic Engineering, 11, 110-122.
- 12- Griffis, V.W. and Stedinger, J.R. 2007. Evolution of Flood Frequency Analysis with Bulletin 17. Journal of Hydrologic Engineering, 12, 283-297.
- 13- Hosking, J.R.M. and Wallis, J.R. 1997. Regional Flood Frequency Analysis: An Approach Based on L-Moments. Cambridge University Press, New York, 224p.
- 14- Huff, F. A. and Angel, J. R. 1992. Rainfall Frequency Atlas of the Midwest (Bulletin 71). Illinois State Water Survey, 141p.
- 15- Interagency Advisory Committee on Water Data. 1982. Guidelines for Determining Flood Flow Frequency. Bulletin 17B of the Hydrology